

به نام خدا



دانشگاه تهران

دانشکده مهندسی برق و کامپیوتر

# تمرین کامپیوتری ۱

پردازش سیگنال های دیجیتال (DSP)

دکتر بدیعی

عرفان پناهی ۸۱۰۱۹۸۳۶۹

نیمسال اول ۱۴۰۰-۰۱

## فهرست:

چکیده	صفحه ۲ (لینک)
بخش اول	صفحه ۳ (لینک)
بخش دوم	صفحه ۱۱ (لینک)
بخش سوم	صفحه ۱۳ (لینک)
بخش چهارم	صفحه ۱۷ (لینک)
بخش پنجم	صفحه ۲۰ (لینک)
بخش ششم	صفحه ۲۳ (لینک)

\*\*\* فایل مربوط به این تمرین کامپیوتری با نام CA1\_MatlabFile\_810198369.mlx پیوست شده است.

**چکیده: هدف از تمرین کامپیوتری ۱**

هدف از انجام این تمرین کامپیوتری طراحی برخی بلوک های پردازش سیگنال گسسته زمان و بررسی بعضی کاربرد های آن است. در بخش اول بلوک های ابتدایی پردازش سیگنال را شبیه سازی می کنیم. در بخش دوم و چهارم با استفاده از بلوک های ساخته شده در بخش اول، یکی از کاربرد های تغییر نرخ نمونه برداری و نصف کننده فرکانسی را بررسی می کنیم. در بخش سوم تبدیل فوریه یک سیگنال متناوب را تحلیل می کنیم. در بخش پنجم تغییر فاز یک فایل صوتی را مورد بررسی قرار می دهیم. در نهایت و در بخش ششم نیز با استفاده از مطالب آموخته شده در درس یک معادله تفاضلی را به دو روش متفاوت حل می کنیم.

## بخش اول: شبیه سازی بلوک های پردازش سیگنال

**سوال ۱) تابع DTFT:** تصویر ۱-۱، کد مربوط به این تابع را نشان میدهد. تابع DTFTfast سرعت بیشتری در محاسبه تبدیل فوریه دارد اما تعداد عناصر ورودی آن محدود میباشد. (در سراسر بخش اول سیگنال های پیوسته با  $f_s = 1000$  نمونه برداری شده است)

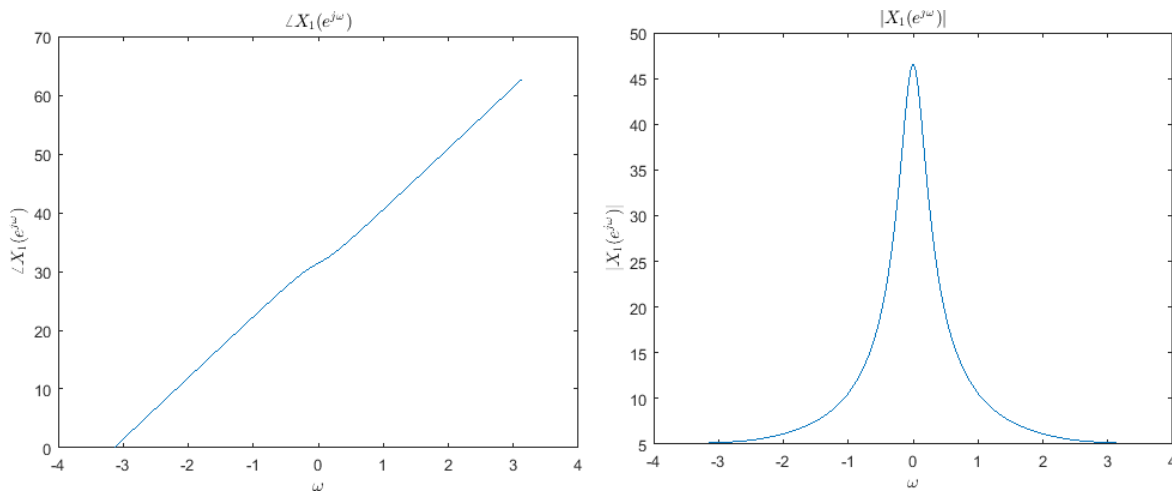
```
function Xejw = DTFT (x,n,w)
    Xejw = zeros(1,length(w));
    for i = 1:length(w)
        Xejw(i) = sum(x.*exp(-1i*w(i)*n));
    end
end

function Xejw = DTFTfast (x,n,w)
    Xejw = x * exp(-1i*n'*w);
end
```

تصویر ۱-۱: کد تابع DTFT

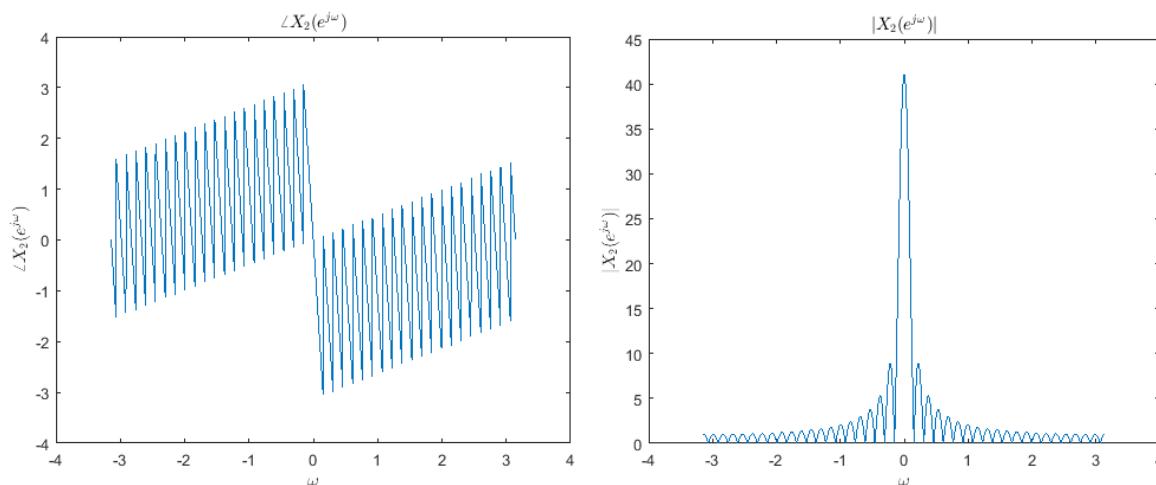
تصویر ۱-۲ اندازه و فاز تبدیل فوریه سیگنال  $x_1[n]$  را نشان میدهد:

\*\*\* تمامی نمودار های فاز تبدیل فوریه در این پروژه با استفاده از دستور `phase()` رسم شده است.



تصویر ۱-۲: اندازه و فاز تبدیل فوریه سیگنال  $x_1[n] = (0.8)^n, -10 \leq n \leq 20$

تصویر ۱-۳ اندازه و فاز تبدیل فوریه سیگنال  $x_2[n]$  را نشان میدهد:



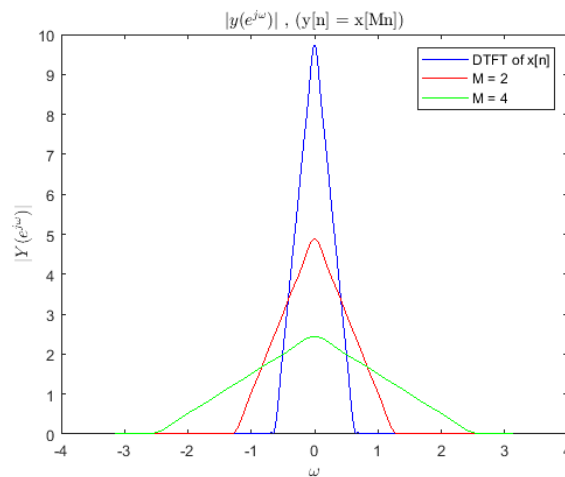
تصویر ۱-۳: اندازه و فاز تبدیل فوریه سیگنال  $x_2[n] = 1, 0 \leq n \leq 40$

**سوال ۲) تابع Compressor:** تصویر ۴-۱، کد مربوط به این تابع را نشان میدهد.

```
function [y,ny] = Compressor (x,nx,M)
    for j = 1:M
        if (mod(nx(j),M) == 0)
            i = j;
        end
    end
    y = x(i:M:length(x));
    ny = nx(i:M:length(nx))/M;
end
```

تصویر ۴-۱: کد تابع Compressor

تصویر ۵-۱ اندازه تبدیل فوریه سیگنال  $x_d[n]$  و  $y[n] = x_d[Mn]$  به ازای  $M \in \{2,4\}$  را نشان میدهد:



تصویر ۵-۱: اندازه تبدیل فوریه سیگنال  $x_d[n]$  و  $y[n] = x_d[Mn]$  به ازای  $M \in \{2,4\}$

همانطور که انتظار میرفت، طبق روابط آموخته شده در درس انتظار داشتیم بهرهٔ اندازه تبدیل  $\frac{1}{M}$  برابر شده و همچنین محور فرکانسی نیز با ضریب  $M$  منبسط می‌شود. روابط زیر این موضوع را تأیید می‌کند:

$$y[n] = x_d[Mn] \rightarrow Y(e^{j\omega}) = \frac{1}{M} \sum_{l=0}^{M-1} X_d(e^{j(\frac{\omega-2\pi l}{M})})$$

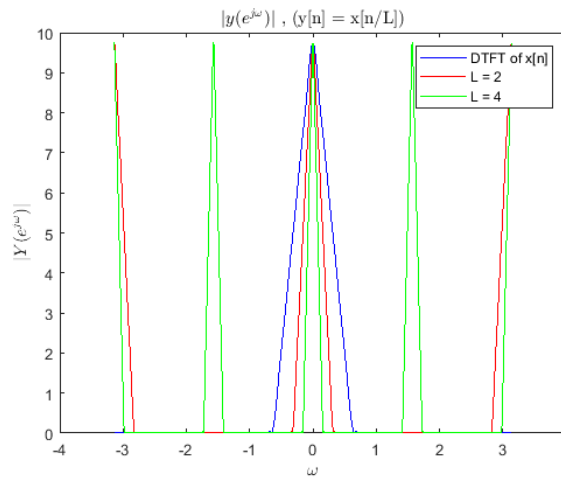
**سوال ۳) تابع Expander:** تصویر ۶-۱، کد مربوط به این تابع را نشان میدهد.

```
function [y,ny] = Expander (x,nx,L)
    i = 1:L:(L*length(nx));
    y(i) = x;
    ny = (L*nx(1)):(L*nx(length(nx)));
end
```

تصویر ۶-۱: کد تابع Expander

تصویر ۷-۱ اندازه تبدیل فوریه سیگنال  $x_d[n]$  و  $y[n]$  به ازای  $L \in \{2, 4\}$  را نشان میدهد:

$$y[n] = \begin{cases} x\left[\frac{n}{L}\right], & n = 0, \pm L, \pm 2L, \dots \\ 0, & \text{otherwise} \end{cases}$$



تصویر ۷-۱: اندازه تبدیل فوریه سیگنال  $x_d[n]$  و  $y[n]$  به ازای  $L \in \{2, 4\}$

همانطور که انتظار میرفت، طبق روابط آموخته شده در درس انتظار داشتیم بهرهٔ اندازه تبدیل تغییر نکرده و همچنین محور فرکانسی نیز با ضریب  $L$  منقبض می‌شود. روابط زیر این موضوع را تأیید می‌کند:

$$Y(e^{j\omega}) = X_d(e^{j\omega L})$$

**سوال ۴) قسمت الف:** برای بازبازی سیگنال پیوسته با استفاده از یک بلوک بازکننده تعداد سمپل های حذف شده در نمونه برداری را اضافه می‌کنیم. سیگنال خروجی بازکننده در سمپل های اضافه شده مقدار صفر دارد. برای مقدار دهی به این سمپل ها از درونیاب استفاده می‌کنیم.

**قسمت ب:** درونیاب ایده آل در حقیقت یک فیلتر پایین گذر با بهرهٔ  $L$  است که با تبدیل فوریه معکوس میتوانیم پاسخ ضربه این فیلتر را بدست آوریم:

$$H_{ideal}(e^{j\omega}) = L, |\omega| \leq \frac{\pi}{L} \rightarrow h_{ideal}[n] = \text{sinc}\left(\frac{n}{L}\right)$$

$$\rightarrow x_i[n] = x_e[n] * h_{ideal}[n] \rightarrow x_i[n] = \sum_{k=-\infty}^{+\infty} x_e[k] \text{sinc}\left(k - \frac{n}{L}\right)$$

**درونیاب خطی** عملی روی سیگنال باز شده انجام میدهد تا نمونه ها به طور خطی به همدیگر وصل شوند.

$$h_{linear}[n] = \begin{cases} 1 - \frac{|n|}{L}, & |n| \leq L \\ 0, & \text{otherwise} \end{cases}$$

$$\rightarrow x_i[n] = x_e[n] * h_{linear}[n] \rightarrow x_i[n] = \sum_{k=n-L+1}^{n+L-1} x_e[k] \left(1 - \frac{|n-k|}{L}\right)$$

درونیاب اسپلاین مکعبی بصورت زیر عمل می کند:

$$\tilde{h}_i[n] = \begin{cases} (a+2)|n/L|^3 - (a+3)|n/L|^2 + 1 & 0 \leq n \leq L \\ a|n/L|^3 - 5|n/L|^2 + 8a|n/L| - 4a & L \leq n \leq 2L \\ 0 & \text{otherwise} \end{cases}$$

$$\rightarrow x_i[n] = x_e[n] * \hat{h}_i[n]$$

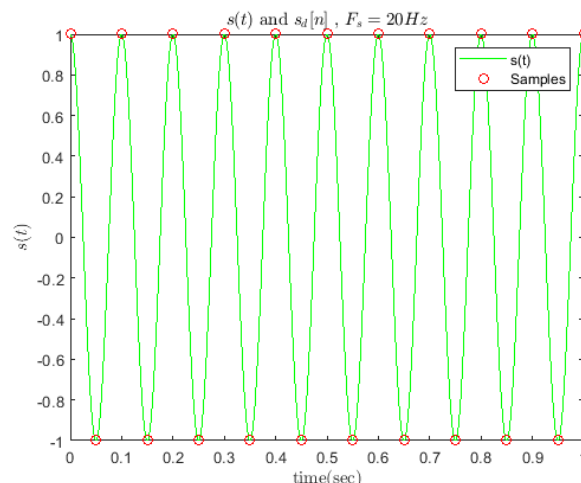
**قسمت ج:** با توجه به اینکه امکان ساخت سیگنال  $\text{sinc}$  در حقیقت وجود ندارد (زیرا باید تا بینهایت ادامه داشته باشد)، پس نمیتوان فیلتر کاملاً ایده آل در حقیقت ساخت. البته میتوان فیلتر را بسته به نیاز به ایده آل نزدیک کرد اما هزینه بر است.

**قسمت د:** تابع **Interpolate**: کد مربوط به این تابع در تصویر ۸-۱ نشان داده شده است.

```
function [y] = Interpolate(x,n,L,fs,mode)
n1 = n(1:L:length(n))/L;
xc = x(1:L:length(x));
t = n / (fs*L);
if mode == 1
    y = xc * sinc(ones(length(n1),1)*n/L - n1'*ones(1,length(n)));
elseif mode == 2
    x_lin = [zeros(1,L-1) x zeros(1,L-1)];
    n_lin = [-L+1:0 n length(n):length(n)+L-1];
    y = zeros(1,length(n));
    for i = n
        y(i+1) = sum(x_lin((i+1):(i+2*L-1)).*(1-abs(i-n_lin((i+1):(i+2*L-1)))/L));
    end
elseif mode == 3
    y = spline(n1/fs,xc,t);
else
    'invalid mode'
end
end
```

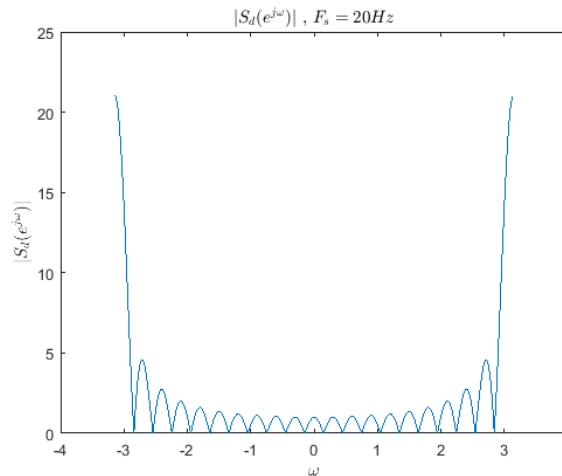
تصویر ۸-۱: کد مربوط به تابع **Interpolate**

**قسمت ه:** تصویر ۹-۱ سیگنال  $s(t)$  را به همراه نمونه ها را نشان میدهد:



تصویر ۹-۱: سیگنال  $s(t)$  با به همراه نمونه ها

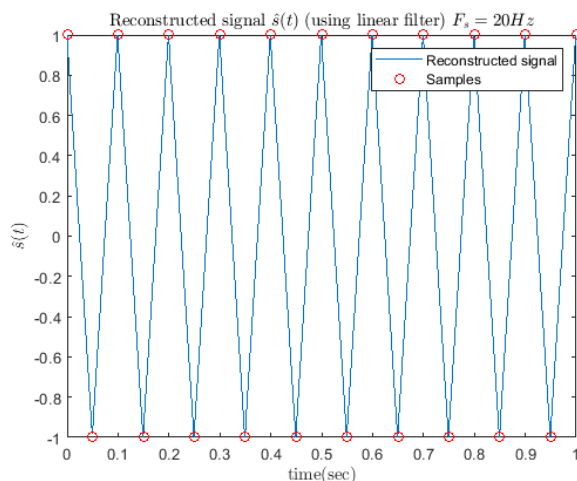
تصویر ۱۰-۱: پاسخ فرکانسی سیگنال گسسته زمان  $s_d[n]$  را نشان می دهد:



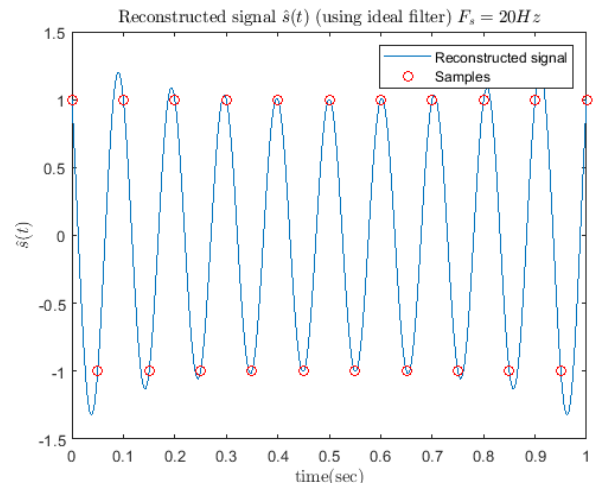
تصویر ۱۰-۱: پاسخ فرکانسی سیگنال  $s_d[n]$

با توجه به اینکه سیگنال پیوسته با نرخ  $f_{sCT} = 1000\text{Hz}$  تعریف شده است و نرخ نمونه برداری  $F_s = 20\text{Hz}$  است پس باید بین هر دو نمونه گسسته  $\frac{f_{sCT}}{F_s} = \frac{1000}{20} = 50$  سمپل تعریف کنیم تا سیگنال را آماده پیوسته سازی کنیم. به این منظور با استفاده از  $L = 50$  سیگنال را آماده درونیابی می کنیم.

تصویر ۱۱-۱، ۱۲-۱ و ۱۳-۱ سیگنال های بازیابی شده  $\hat{s}(t)$  با روش های به ترتیب ایده آل، خطی و اسپلاین مکعبی را نشان می دهد.



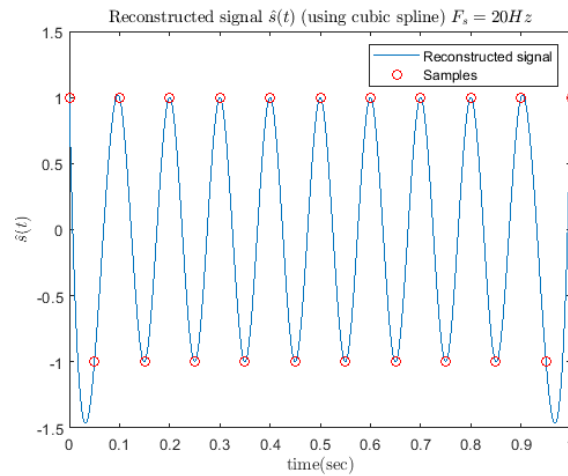
تصویر ۱۲-۱: سیگنال بازیابی شده با روش خطی



تصویر ۱۱-۱: سیگنال بازیابی شده با روش ایده آل

تصویر ۱۴-۱ میانگین خطای مربعات روش های بازیابی را نشان می دهد. همانطور که مشاهده می شود، در این بازیابی درونیابی خطی میانگین مربعات خطای نسبت به دو درونیاب دیگر دارد. در بیشتر اوقات زمانی که تعداد نمونه های گسسته بسیار کمتر از کل باشد، تقریب خطی برای بازیابی مناسب تر است.





تصویر ۱-۱۳: سیگنال بازیابی شده با روش اسپلاین مکعبی

Mean Squared Error:

% Fs = 20Hz

1. mode = 1 (ideal filter)

Er20\_ideal = immse(s\_hat1\_20,s)

Er20\_ideal = 0.1125

2. mode = 2 (linear filter)

Er20\_linear = immse(s\_hat2\_20,s)

Er20\_linear = 0.0243

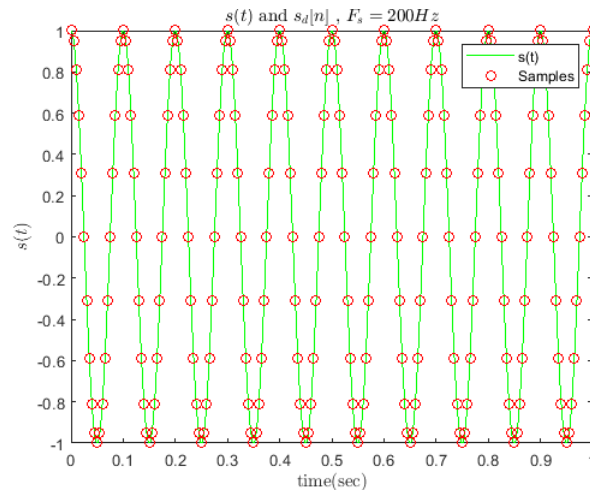
3. mode = 3 (cubic spline)

Er20\_spline = immse(s\_hat3\_20,s)

Er20\_spline = 0.1132

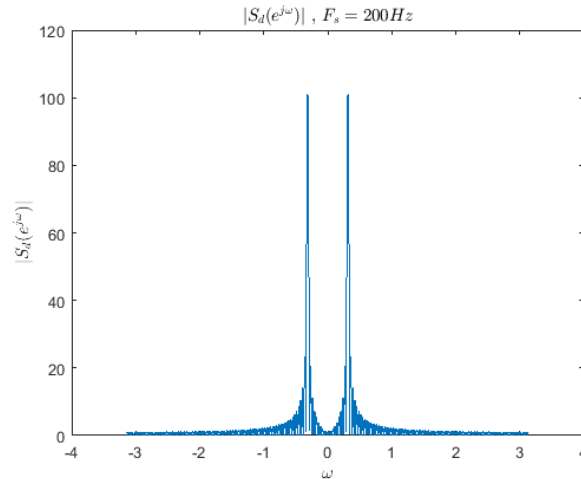
تصویر ۱-۱۴: میانگین خطای مربعات برای بازیابی سیگنال با  $F_s = 20\text{Hz}$

**قسمت و:** تصویر ۱-۱۵ سیگنال  $s(t)$  با به همراه نمونه ها را برای  $F_s = 200\text{Hz}$  نشان میدهد:



تصویر ۱-۱۵: سیگنال  $s(t)$  با به همراه نمونه ها با  $F_s = 20\text{Hz}$

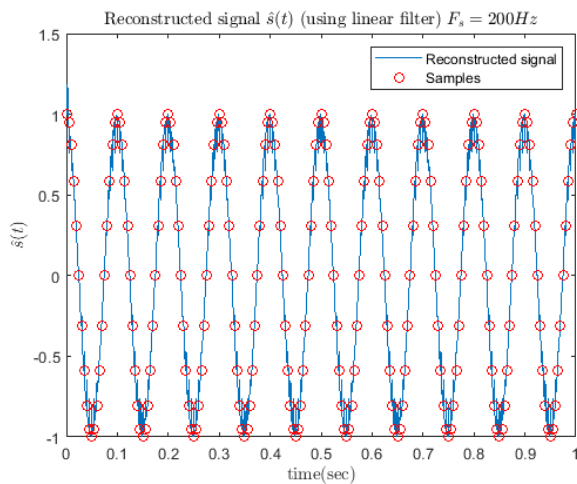
تصویر ۱-۱۰ پاسخ فرکانسی سیگنال گسسته زمان  $s_d[n]$  را نشان می دهد:



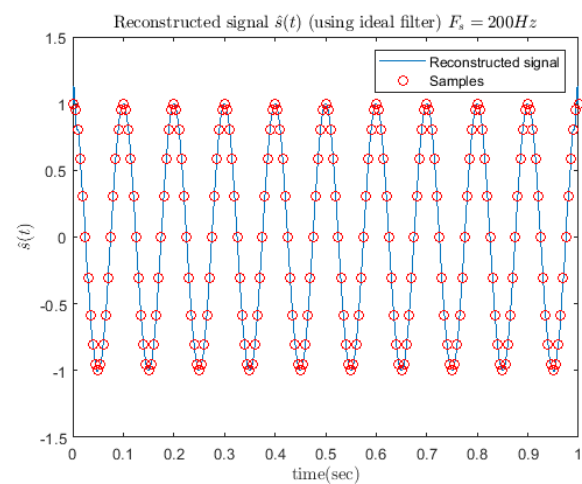
تصویر ۱-۱۶ : پاسخ فرکانسی سیگنال  $s_d[n]$

با توجه به اینکه سیگنال پیوسته با نرخ  $f_{sCT} = 1000Hz$  تعریف شده است و نرخ نمونه برداری  $F_s = 200Hz$  است پس باید بین هر دو نمونه گسسته  $\frac{f_{sCT}}{F_s} = \frac{1000}{200} = 5$  سمپل تعریف کنیم تا سیگنال را آماده پیوسته سازی کنیم. به این منظور با استفاده از  $L = 5$  سیگنال را آماده درونیابی میکنیم.

تصویر ۱-۱۷، ۱-۱۸ و ۱-۱۹ سیگنال های بازپایی شده  $\hat{S}(t)$  با روش های به ترتیب ایده آل، خطی و اسپلاین مکعبی را نشان می دهد.



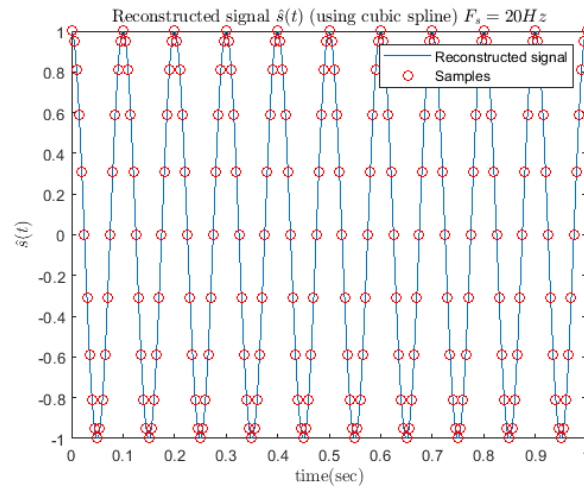
تصویر ۱-۱۸ : سیگنال بازپایی شده با روش خطی



تصویر ۱-۱۷ : سیگنال بازپایی شده با روش ایده آل

تصویر ۱-۲۰ میانگین خطای مربعات روش های بازپایی را نشان میدهد. همانطور که مشاهده می شود، در این بازپایی درونیابی خطی میانگین مربعات خطای کمتری نسبت به دو درونیاب دیگر دارد. در بیشتر اوقات زمانی که تعداد نمونه های گسسته زیاد باشد، تقریب اسپلاین مکعبی برای بازپایی مناسب تر است.

با مقایسه خطای بخش ه و بخش و متوجه میشویم که هر چه تعداد نمونه های گسسته بزرگتر باشد (با فرکانس بیشتری نمونه برداری اولیه را انجام دهیم) دقت در بازپایی نیز بیشتر خواهد بود.



تصویر ۱-۱۹: سیگنال بازیابی شده با روش اسپلاین مکعبی

Mean Squared Error:

% Fs = 20Hz

1. mode = 1 (ideal filter)

```
Er200_ideal = immse(s_hat1_200,s)
```

Er200\_ideal = 1.6600e-04

2. mode = 2 (linear filter)

```
Er200_linear = immse(s_hat2_200,s)
```

Er200\_linear = 0.0057

3. mode = 3 (cubic spline)

```
Er200_spline = immse(s_hat3_200,s)
```

Er200\_spline = 5.0559e-10

تصویر ۱-۲۰: میانگین خطای مربعات برای بازیابی سیگنال با  $F_s = 200Hz$

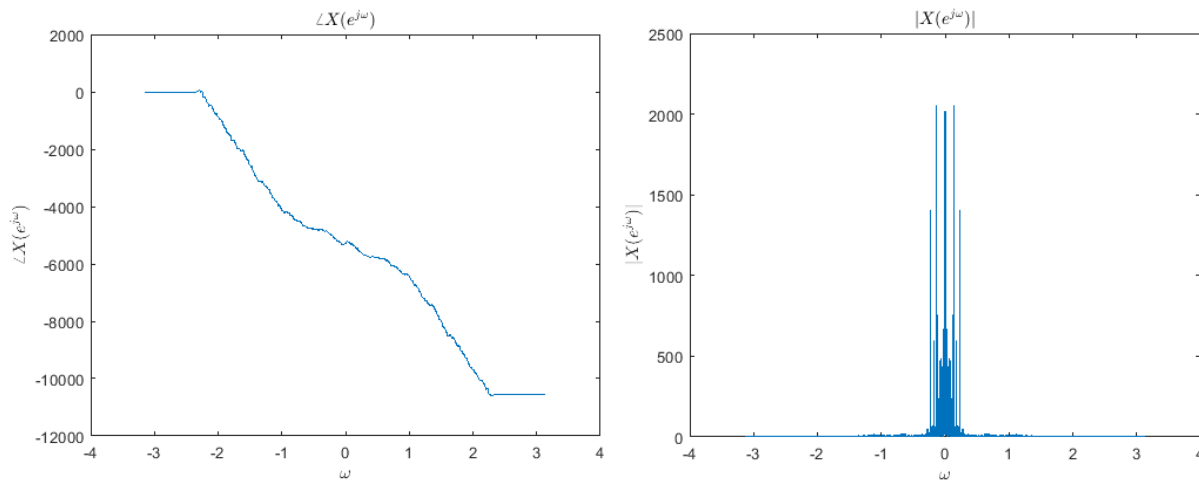
**بخش دوم : سیستم تغییر دهنده نرخ نمونه برداری**

**سوال ۱)** با استفاده از دستورات نشان داده شده در تصویر ۱-۲ ، فایل صوتی در متلب باز شده و ۱ ثانیه نخست آن در پخش می کنیم:

```
clear;
[music,Fs1] = audioread('sound.mp3');
x = music(1:Fs1);
sound(x,Fs1);
```

تصویر ۱-۲: باز کردن فایل صوتی و پخش ۱ ثانیه نخست

**سوال ۲)** تصویر ۲-۲ اندازه و فاز تبدیل فوریه سیگنال  $x[n]$  را نشان میدهد:



تصویر ۲-۲: اندازه و فاز تبدیل فوریه سیگنال  $x[n]$

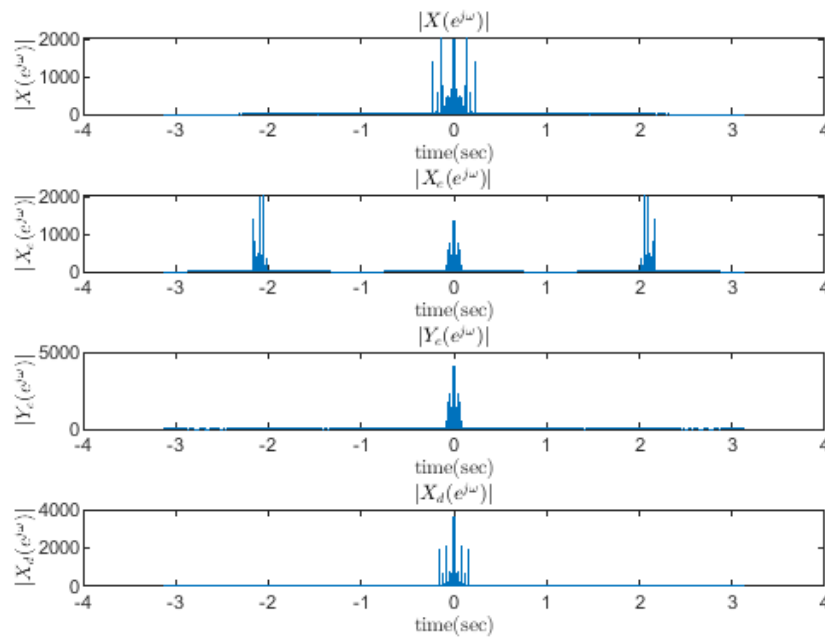
**سوال ۳)** با توجه به اینکه می خواهیم فرکانس  $F_{s1} = 44100\text{Hz}$  را برای ورودی گرفته و خروجی را با  $F_{s2} = 66150\text{Hz}$  تولید کنیم، مقدار  $L$  و  $M$  بصورت زیر تعیین می شود:

$$\frac{L}{M} = \frac{66150}{44100} = \frac{3}{2} \rightarrow L = 3, M = 2$$

همچنین فرکانس قطع فیلتر با توجه به مقدار  $L=3$  تعیین می شود:

$$L = 3 \rightarrow |\omega| \leq \frac{\pi}{L} = \frac{\pi}{3} \rightarrow \omega_c = \frac{\pi}{3}$$

**سوال ۴)** تصویر ۲-۳ اندازه تبدیل فوریه سیگنال های  $x_e[n]$  ،  $x_d[n]$  ،  $y_e[n]$  و  $x[n]$  را نشان میدهد. همانطور که مشاهده می شود، پس از عبور از باز کننده اندازه تبدیل فشرده شده و با استفاده از فیلتر پایین گذر باند پایه تبدیل بدست می آید. در نهایت نیز با استفاده از فشرده ساز ، طیف کمی باز تر شده و بهره دو برابر میشود.



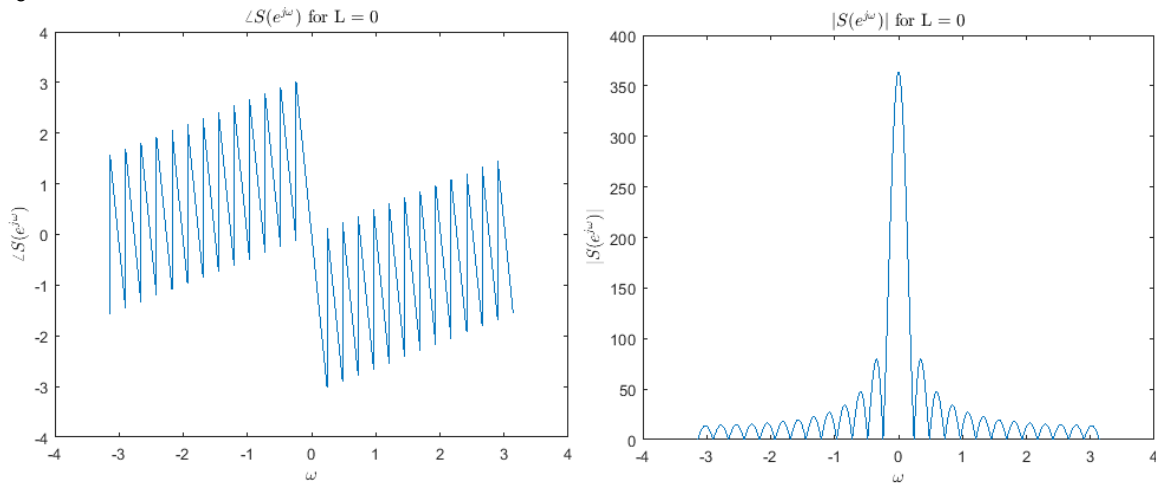
تصویر ۲-۳: اندازه تبدیل فوریه سیگنال های  $x[n]$ ،  $x_e[n]$ ،  $y_e[n]$  و  $x_d[n]$

**سوال ۵)** پس از دریافت سیگنال خروجی و شنیدن آن متوجه شباهت این صوت با صوت ابتدایی می شویم. دلیل این امر محسوس نبودن تغییرات می باشد. برای اینکه تغییرات را بیشتر حس کنیم باید تفاوت بیشتری بین فرکانس ورودی و خروجی وجود داشته باشد. در حالت کلی دلیل افزایش کیفیت صدا افزایش تعداد سَمپل ها با افزایش فرکانس خروجی است. البته در فرکانس های بالا مثل این مسئله این موضوع چندان حس نمی شود.

## بخش سوم : تحلیل تبدیل فوریه

**سوال ۱)** تصویر ۱-۳ اندازه و فاز تبدیل فوریه سیگنال  $s(t)$  به ازای  $L = 0$  را نشان میدهد:

$$s(t) = \sum_{i=0}^L x(t - iT) = x(t)$$



تصویر ۱-۳ : اندازه و فاز تبدیل فوریه سیگنال  $s(t)$  به ازای  $L = 0$

**سوال ۲)** تصویر ۲-۳ پهنای باند سیگنال  $s(t)$  به ازای  $L = 0$  را نشان میدهد.

```
ABS_S0 = abs(S0ejw);
Peak_S0 = max(ABS_S0);
i0 = min(find(ABS_S0 > Peak_S0/sqrt(2)));
j0 = max(find(ABS_S0 > Peak_S0/sqrt(2)));
BW_L0 = w(j0)-w(i0)

BW_L0 = 0.2142

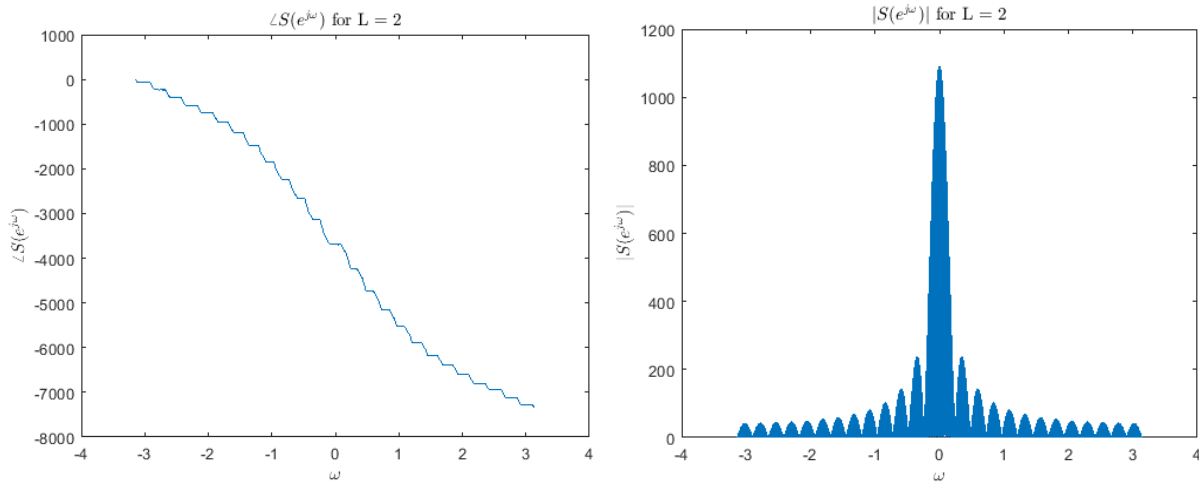
BW_L0_per100 = BW_L0/(2*pi)

BW_L0_per100 = 0.0341
```

تصویر ۲-۳ : پهنای باند سیگنال  $s(t)$  به ازای  $L = 0$  ، 3.41% کل طیف

**سوال ۳)** تصویر ۳-۳ اندازه و فاز تبدیل فوریه سیگنال  $s(t)$  به ازای  $L = 2$  را نشان میدهد:

$$s(t) = \sum_{i=0}^2 x(t - iT) = x(t) + x(t - T) + x(t - 2T)$$



تصویر ۳-۳: اندازه و فاز تبدیل فوریه سیگنال  $s(t)$  به ازای  $L = 2$

تصویر ۳-۴: پهنای باند سیگنال  $s(t)$  به ازای  $L = 2$  را نشان میدهد.

```
ABS_S2 = abs(S2ejw);
Peak_S2 = max(ABS_S2);
i2 = min(find(ABS_S2 > Peak_S2/sqrt(2)));
j2 = max(find(ABS_S2 > Peak_S2/sqrt(2)));
BW_L2 = w(j2)-w(i2)

BW_L2 = 0.2112

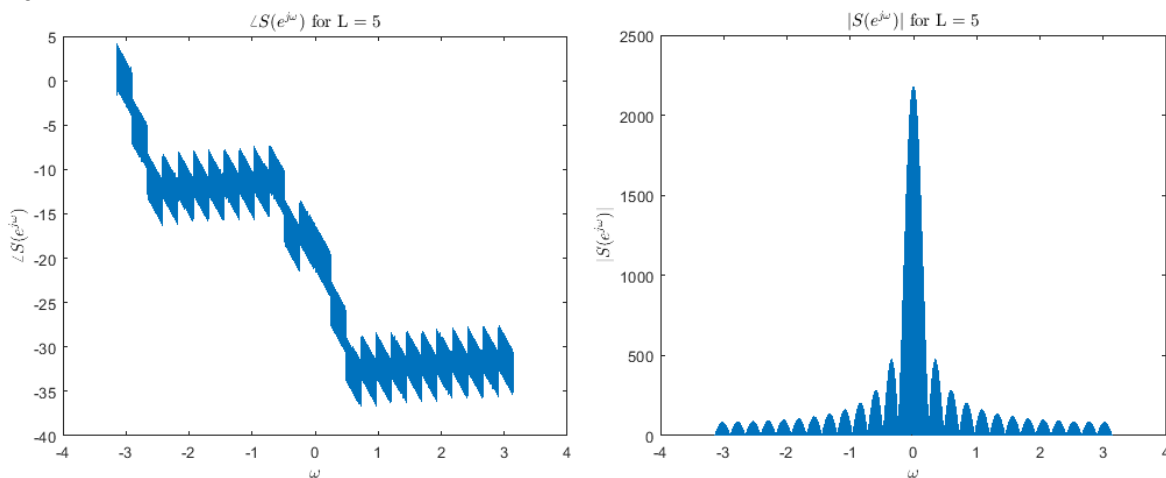
BW_L2_per100 = BW_L2/(2*pi)

BW_L2_per100 = 0.0336
```

تصویر ۳-۴: پهنای باند سیگنال  $s(t)$  به ازای  $L = 2$ ، 3.36% کل طیف

تصویر ۳-۵: اندازه و فاز تبدیل فوریه سیگنال  $s(t)$  به ازای  $L = 5$  را نشان میدهد:

$$s(t) = \sum_{i=0}^5 x(t - iT) = x(t) + x(t - T) + x(t - 2T) + x(t - 3T) + x(t - 4T) + x(t - 5T)$$



تصویر ۳-۵: اندازه و فاز تبدیل فوریه سیگنال  $s(t)$  به ازای  $L = 5$

تصویر ۳-۶: پهنای باند سیگنال  $s(t)$  به ازای  $L = 5$  را نشان میدهد.

```
ABS_S5 = abs(S5ejw);
Peak_S5 = max(ABS_S5);
i5 = min(find(ABS_S5 > Peak_S5/sqrt(2)));
j5 = max(find(ABS_S5 > Peak_S5/sqrt(2)));
BW_L5 = w(j5)-w(i5)
```

```
BW_L5 = 0.2061
```

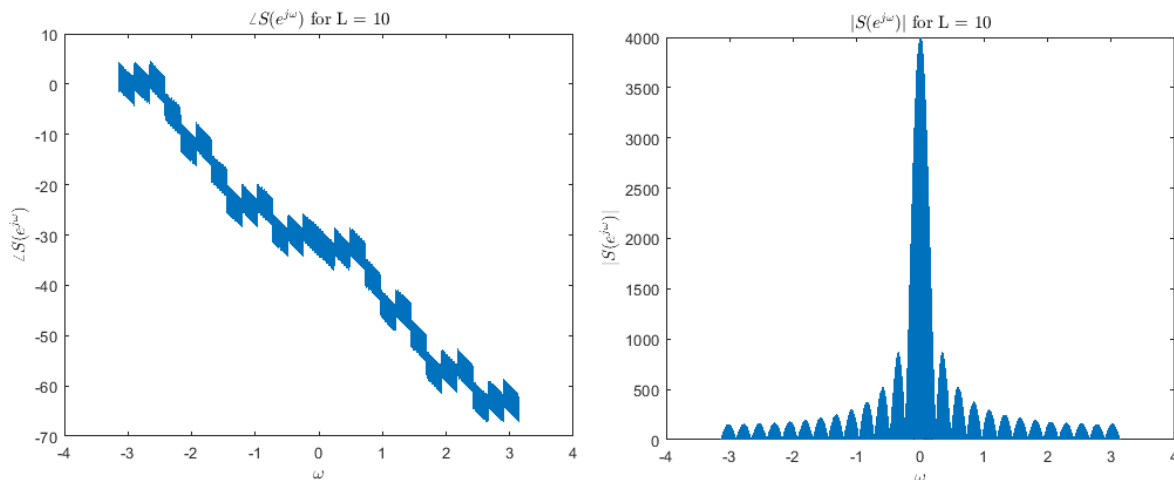
```
BW_L5_per100 = BW_L5/(2*pi)
```

```
BW_L5_per100 = 0.0328
```

تصویر ۳-۶: پهنای باند سیگنال  $s(t)$  به ازای  $L = 5$ ، 3.28% کل طیف

**سوال ۴)** همانطور که مشاهده شد با افزایش مقدار  $L$ ، اوج تبدیل فوریه نسبت به سایر نقاط رشد بیشتری دارد و به همین خاطر پهنای باند سیگنال کاهش پیدا می کند. با افزایش  $L$  پهنای باند آنقدر کم میشود تا به یک دلتا در صفر تبدیل شود پس سیگنال کماکان پایین گذر باقی می ماند. برای بررسی این موضوع اندازه و فاز تبدیل فوریه و پهنای باند سیگنال  $s(t)$  به ازای  $L = 10$  بدست می آوریم:

تصویر ۳-۷: اندازه و فاز تبدیل فوریه سیگنال  $s(t)$  به ازای  $L = 10$  را نشان میدهد:



تصویر ۳-۷: اندازه و فاز تبدیل فوریه سیگنال  $s(t)$  به ازای  $L = 10$

```
ABS_S10 = abs(S10ejw);
Peak_S10 = max(ABS_S10);
i10 = min(find(ABS_S10 > Peak_S10/sqrt(2)));
j10 = max(find(ABS_S10 > Peak_S10/sqrt(2)));
BW_L10 = w(j10)-w(i10)
```

```
BW_L10 = 0.1985
```

```
BW_L10_per100 = BW_L10/(2*pi)
```

```
BW_L10_per100 = 0.0316
```

تصویر ۳-۶: پهنای باند سیگنال  $s(t)$  به ازای  $L = 5$ ، 3.16% کل طیف

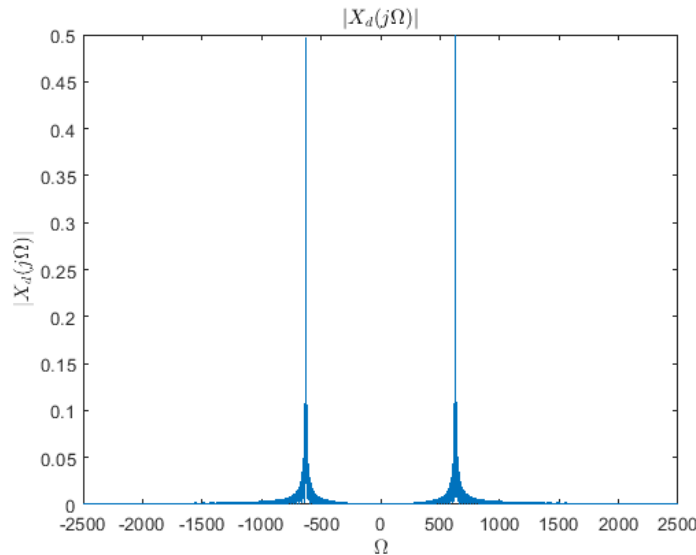


**سوال ۵)** همانطور که در سوال قبل اشاره شد، پهنای باند سیگنال آنقدر کاهش پیدا می کند تا تبدیل فوری به یک دلتا تبدیل شود. برای توجیه این قضیه میتوانیم به ارتباط ضرایب سری فوری و تبدیل فوری اشاره کنیم. اگر مقدار  $L$  به سمت بینهایت میل کند در حقیقت سیگنال  $s(t)$  یک سیگنال متناوب خواهد بود.

$$X(j\Omega) = \sum 2\pi a_k \delta(\Omega - \Omega_k)$$

## بخش چهارم : ساخت نصف کننده فرکانسی

**سوال ۱)** تصویر ۴-۱ اندازه تبدیل فوریه سیگنال  $x(t)$  به ازای  $f_c = 100\text{Hz}$  را نشان میدهد:



تصویر ۴-۱ : اندازه تبدیل فوریه سیگنال  $x_c(t)$

همانطور که انتظار میرفت پهنای باند این سیگنال در حدود  $2\pi f_c = 200\pi$  میباشد. پس نرخ نایکوئیست این سیگنال بصورت زیر بدست می آید:

$$\Omega_N = 200\pi \rightarrow f_N = 100 \rightarrow \text{Nyquist rate: } 2f_N = 200\text{Hz}$$

**سوال ۲)** حال  $f_s = 400\text{Hz}$  را دو برابر نرخ نایکوئیست تعریف می کنیم. پس داریم:

برای اینکه بتوانیم با استفاده از تابع *filter* خروجی را بدست آوریم به صورت زیر عمل میکنیم:

۱. ابتدا سیگنال  $z[n]$  را بصورت زیر تعریف می کنیم:

$$z[n] \triangleq y[n-1] \rightarrow z[n] = 0.5x[n] + x[n-1] + 0.5x[n-2]$$

۲. حال ضرایب این سیستم را به همراه ورودی  $x_c(t) = \cos(200\pi t)$  به دستور فیلتر میدهیم.

۳. در نهایت نیز خروجی فیلتر را یک واحد به سمت چپ شیفت میدهیم. برای شرایط اولیه داریم:

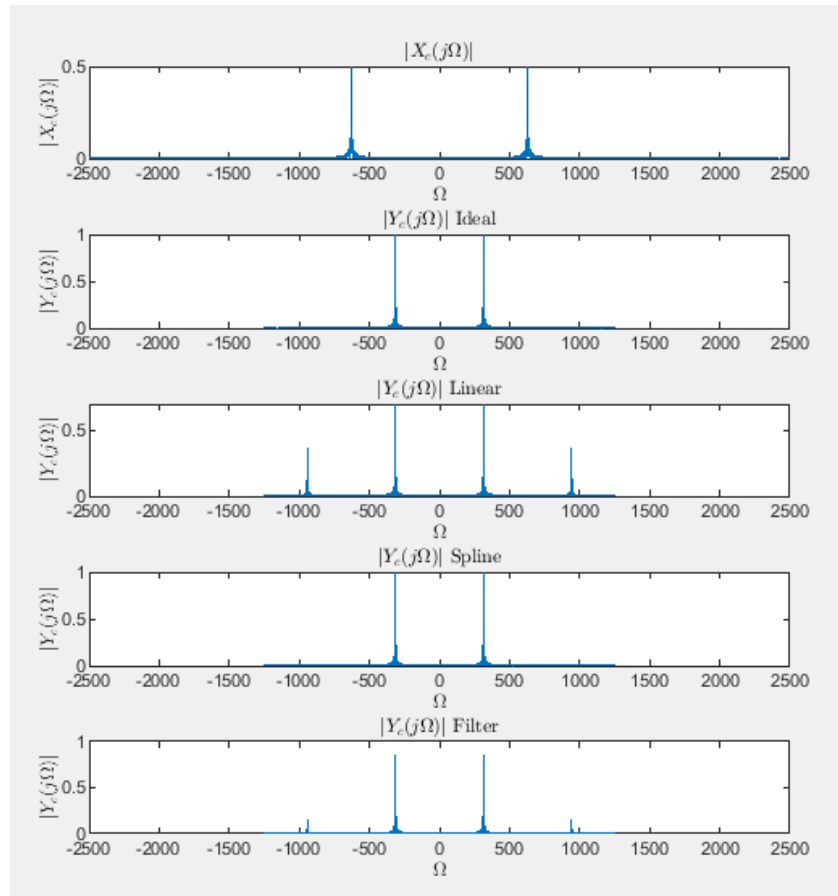
$$y[-1] = x[-1] + 0.5x[-2] + 0.5x[0] = 0$$

تمامی این مراحل را مطابق با تصویر ۴-۲ انجام می دهیم:

```
L = 2;
yc_idc = Interpolate(xe,ne,L,fs,1);
yc_lin = Interpolate(xe,ne,L,fs,2);
yc_spl = Interpolate(xe,ne,L,fs,3);
zc = filter([0.5 1 0.5],1,xe);
yc_fil = [0 zc(1:length(zc)-1)];
```

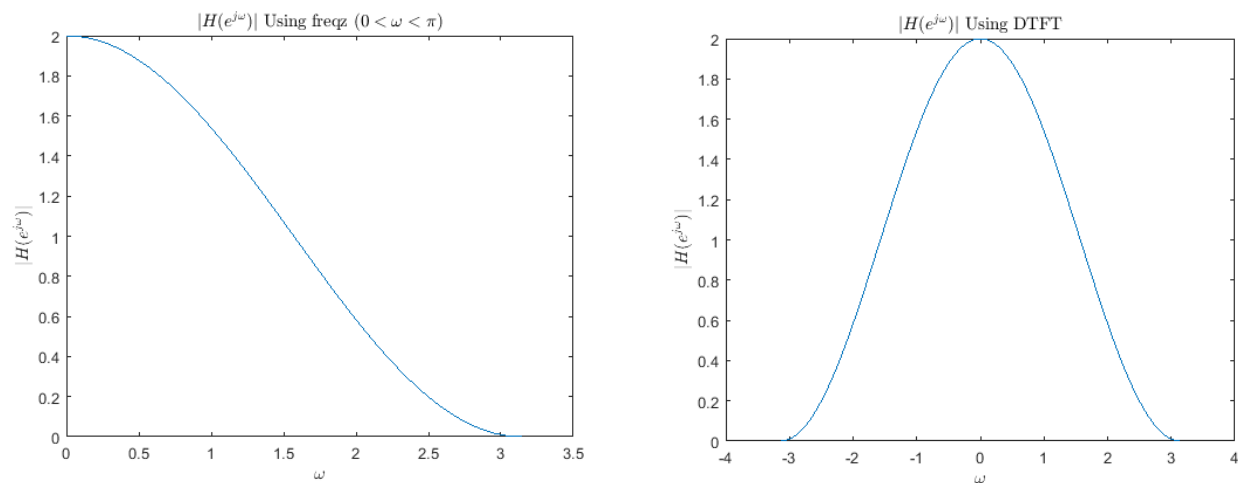
تصویر ۴-۲ : بدست آوردن خروجی در حوزه زمان

در نهایت اندازه تبدیل فوریه سیگنال خروجی به هر ۴ روش درونیابی و همچنین سیگنال ورودی در تصویر ۳-۴ نشان داده شده است:



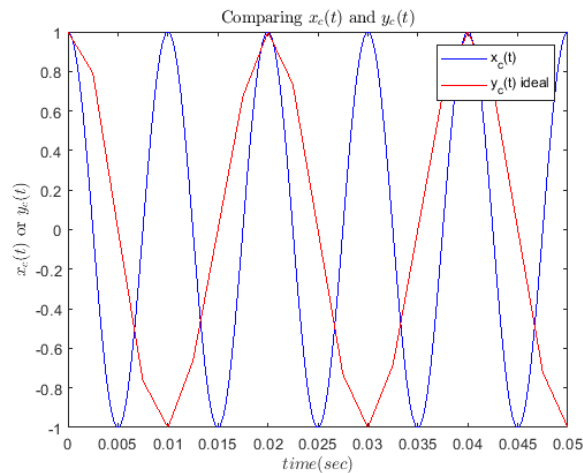
تصویر ۳-۴: اندازه تبدیل فوریه سیگنال های  $x_c(t)$  و  $y_c(t)$  به هر ۴ روش

**سوال ۳)** تصویر ۴-۴ پاسخ فرکانسی فیلتر را با دو روش freqz و DTFT نشان می دهد:



تصویر ۴-۲: پاسخ فرکانسی فیلتر را با دو روش freqz و DTFT

**سوال ۴)** تصویر ۴-۵ خروجی (روش ایده آل) سیستم را به همراه ورودی در حوزه زمان نشان میدهد:



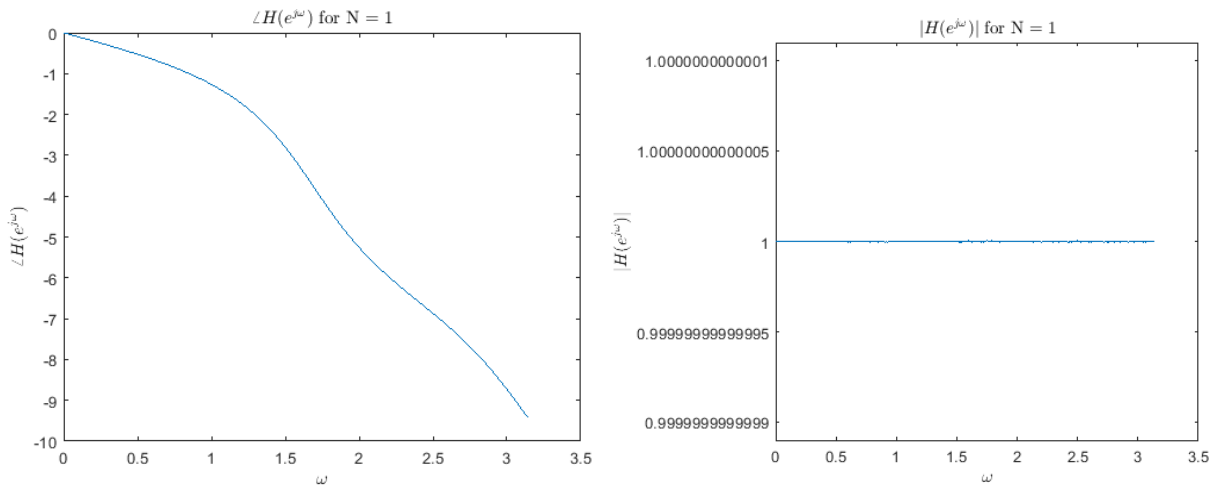
تصویر ۴-۵ : خروجی (روش ایده آل) سیستم را به همراه ورودی در حوزه زمان

**سوال ۵)** همانطور که در تصویر ۴-۳ مشاهده میشود، تبدیل فوریه خروجیبا استفاده از هر سه روش درونیابی خروجی یکسانی داشته است. در حقیقت بخاطر وجود بازکننده با ضریب  $L=2$ ، تبدیل فوریه سیگنال با ضریب ۲ فشرده میشود و ضربه ها در فرکانس نصف اتفاق می افتد و انگار فرکانس ورودی در خروجی نصف شده است. در روش آخر(فیلتر رابطه ۱۲) با توجه به پاسخ فرکانسی آن که در سوال ۳ نمایش داده شد، بهره ایده آل نیست و به همین خاطر ضربه ها ضعیف تر خود را نشان می دهند.

**سوال ۶)** همانطور که در سوال قبل اشاره شد، بخاطر ایده آل نبودن این فیلتر اعوجاج دامنه در خروجی اتفاق می افتد و دامنه تضعیف میشود. همچنین این تضعیف برای فرکانس های مختلف متفاوت است. در نتیجه استفاده از این فیلتر در حالت کلی برای این سیستم مناسب نیست.

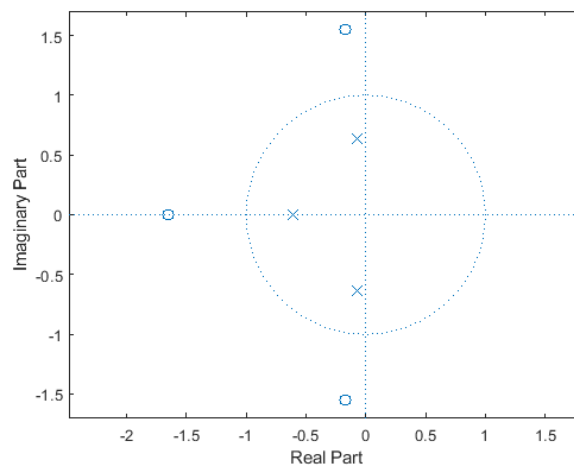
## بخش پنجم : شناسایی فاز

**سوال ۱)** تصویر ۱-۵ نمودار اندازه و فاز پاسخ فرکانسی سیستم را نشان می دهد. همانطور که مشاهده میشود اندازه پاسخ فرکانسی ثابت بوده و فاز محدوده تقریبی ۰ تا -۱۰ دارد.



تصویر ۱-۵ : اندازه و فاز پاسخ فرکانسی فیلتر به ازای  $N=1$

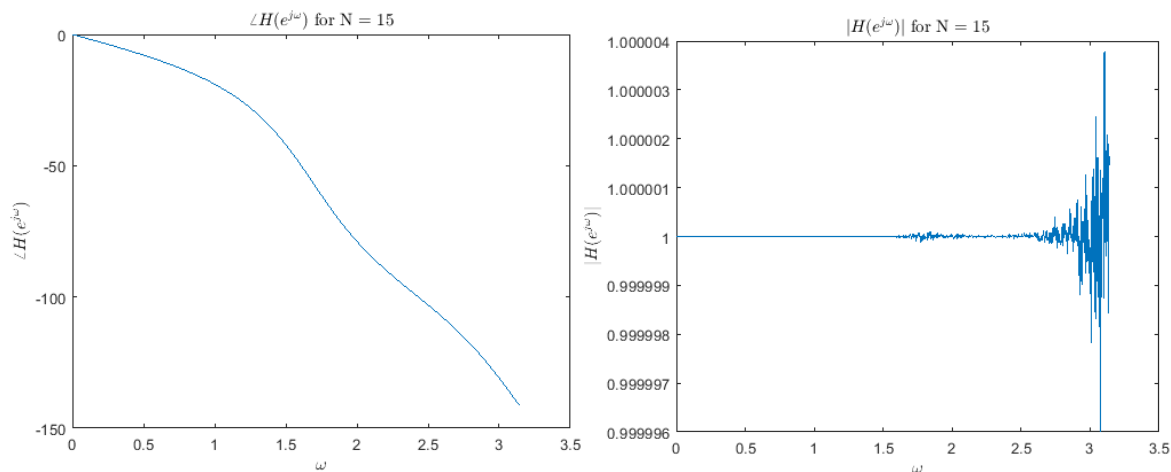
تصویر ۲-۵ نمودار صفر و قطب های سیستم را نشان می دهد.



تصویر ۲-۵ : نمودار صفر و قطب های سیستم به ازای  $N=1$

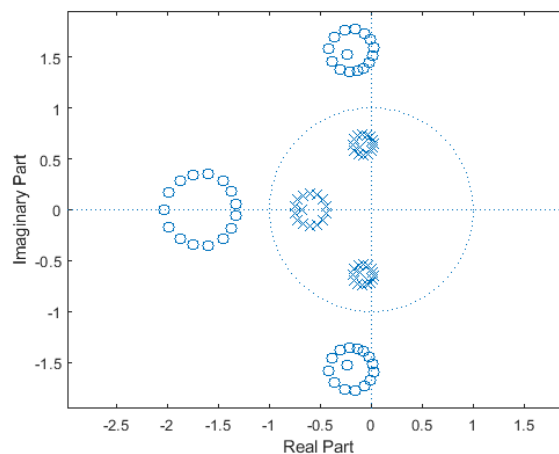
**سوال ۲)** با شنیدن فایل صوتی خروجی متوجه تغییری در آن نمیشویم. دلیل این امر عدم تغییر اندازه تبدیل است. دلیل اینکه تغییر فاز را حس نمیکنیم این است که در حقیقت فاز بیانگر جایجایی و شیفت زمانی است و گوش انسان قادر به تشخیص این موضوع نیست و صرفاً اندازه آن شنیده میشود.

**سوال ۳)** تصویر ۳-۵ نمودار اندازه و فاز پاسخ فرکانسی سیستم را نشان میدهد. همانطور که مشاهده میشود اندازه پاسخ فرکانسی تقریباً ثابت و در حدود ۱ است و فاز محدوده تقریبی ۰ تا -۱۵۰ دارد. (نسبت به حالت قبل ۱۵ برابر شده است)



تصویر ۳-۵ : اندازه و فاز پاسخ فرکانسی فیلتر به ازای  $N=15$

تصویر ۴-۵ نمودار صفر و قطب های سیستم را نشان می دهد.

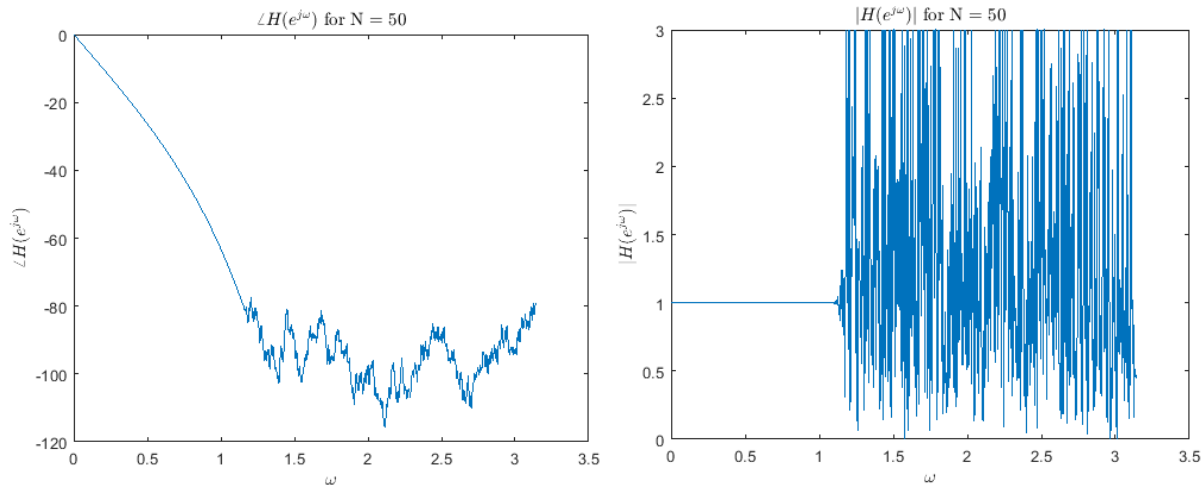


تصویر ۴-۵ : نمودار صفر و قطب های سیستم به ازای  $N=15$

نمودار صفر و قطب های سیستم به ازای  $N = 15$  درست رسم نشده است. دلیل این امر ناتوانی متلب در بدست آوردن دقیق قطب و صفر هاست و به همین خاطر همه قطب و صفر ها دقیقاً در یک نقطه نیستند.

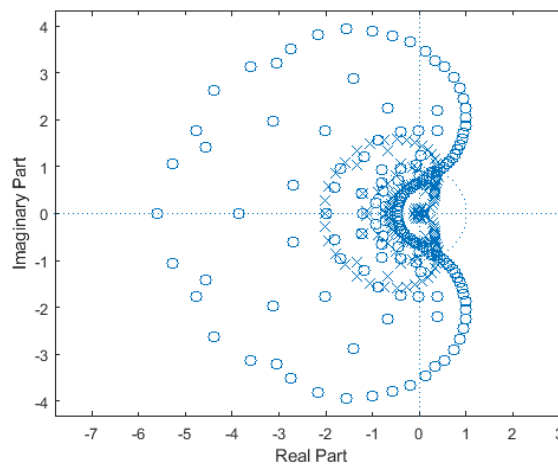
**سوال ۴)** کماکان با شنیدن فایل صوتی خروجی متوجه تغییری در آن نمیشویم. پس همانطور که در سوال ۲ اشاره شد گوش انسان قادر به درک تغییر فاز نیست. دلیل اینکه تغییر فاز را حس نمیکنیم این است که در حقیقت فاز بیانگر جایجایی و شیفت زمانی است و گوش انسان قادر به تشخیص این موضوع نیست و صرفاً اندازه آن شنیده میشود.

**سوال ۵)** تصویر ۵-۵ نمودار اندازه و فاز پاسخ فرکانسی سیستم را نشان میدهد. همانطور که مشاهده میشود اندازه پاسخ فرکانسی دیگر قابت نیست و به دلیل ناپایدار شدن دچار اعوجاج میشود و فاز محدوده تقریبی نیز دچار اعوجاج در همین نقاط شده است.



تصویر ۵-۵: اندازه و فاز پاسخ فرکانسی فیلتر به ازای  $N=50$

تصویر ۵-۶ نمودار صفر و قطب های سیستم را نشان می دهد.

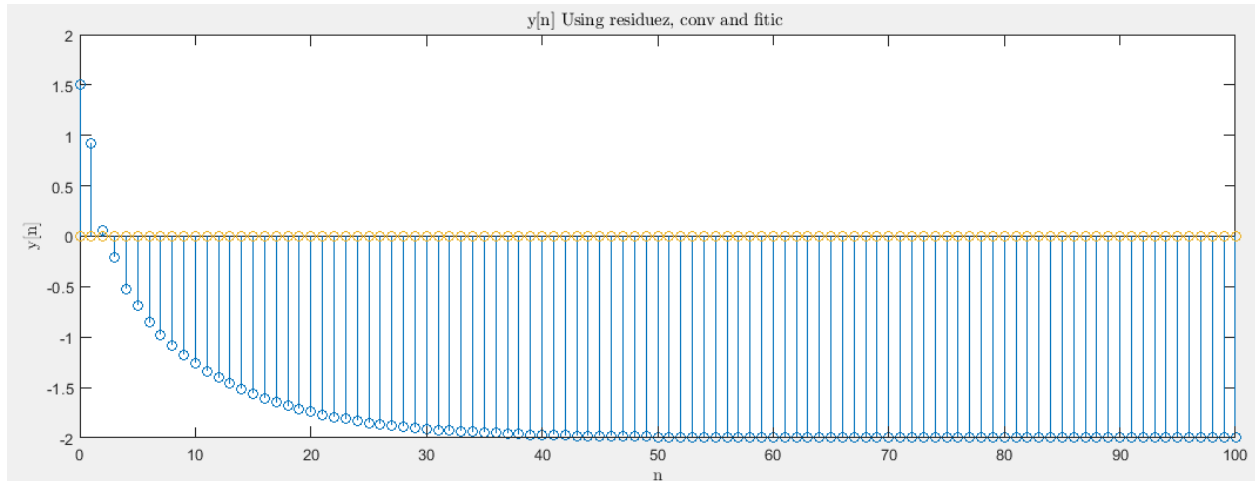


تصویر ۵-۶: نمودار صفر و قطب های سیستم به ازای  $N=50$

همانطور که در تصویر ۵-۶ مشاهده میشود، با توجه به اینکه قطب های سیستم همه در دایره واحد نیستند پس سیستم پایدار نیست و در نتیجه باعث میشود تا صدایی غیرقابل انتظار بشنویم. البته این ناپایداری بخاطر اشتباه در محاسبات متلب است و درحقیقت وجود ندارد و سیستم کماکان باید پایدار باقی بماند.

**بخش ششم : حل معادله تفاضلی****\*\*\* حل معادله تفاضلی با استفاده از دستورات `conv` ، `residuez` و `filtic`:**

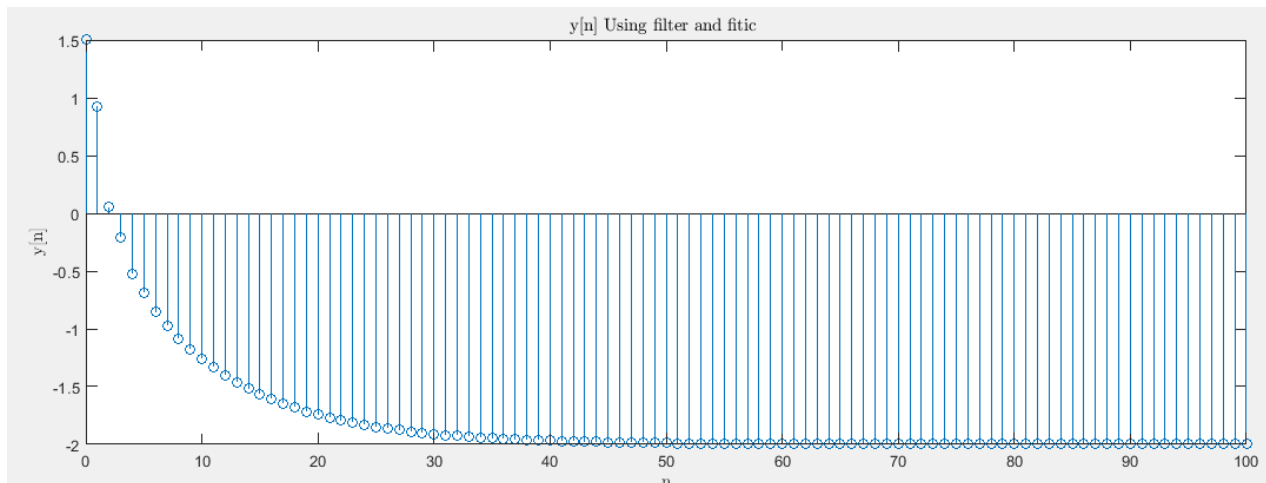
تصویر ۶-۱ پاسخ کامل را به این روش نشان می دهد.



تصویر ۶-۱: پاسخ کامل با استفاده از دستورات `conv` ، `residuez` و `filtic`

**\*\*\* حل معادله تفاضلی با استفاده از دستورات `filter` و `filtic`:**

تصویر ۶-۲ پاسخ کامل را به این روش نشان می دهد.



تصویر ۶-۲: پاسخ کامل با استفاده از دستورات `filter` و `filtic`

همانطور که مشاهده میشود پاسخ کامل با استفاده از هر دو روش یکسان می باشد.

با استفاده از نتایج تصویر ۶-۳ میتوانیم فرم پاسخ کامل معادله تفاضلی را بنویسیم:

$$y[n] = -2u[n] + 2.116(0.9)^n u[n] + 1.7188(0.5)^n u[n] - 0.3304(-0.5)^n u[n]$$



```
M'
ans = 1x4
    1.0000    0.9000    0.5000    0.5000

A'
ans = 1x4
    0    0    0    1

n'
ans = 1x4
   -2.0000    2.1116    1.7188   -0.3304
```

تصویر ۳-۶: نتایج روش اول

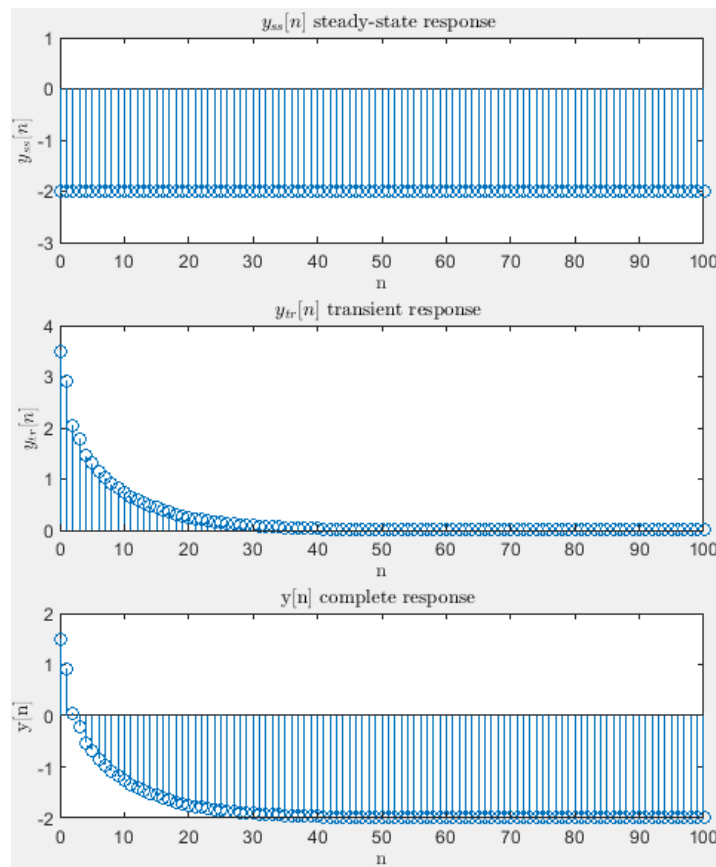
در نتیجه میتوانیم پاسخ را به دو صورت حالت صفر-ورودی صفر و گذرا-ماندگار بنویسیم:

\*\*\*پاسخ گذرا و ماندگار:

$$y_{ss}[n] = -2u[n]$$

$$y_{tr}[n] = 2.116(0.9)^n u[n] + 1.7188(0.5)^n u[n] - 0.3304(-0.5)^n u[n]$$

تصویر ۴-۶ نمودار پاسخ گذرا و ماندگار را نشان میدهد:



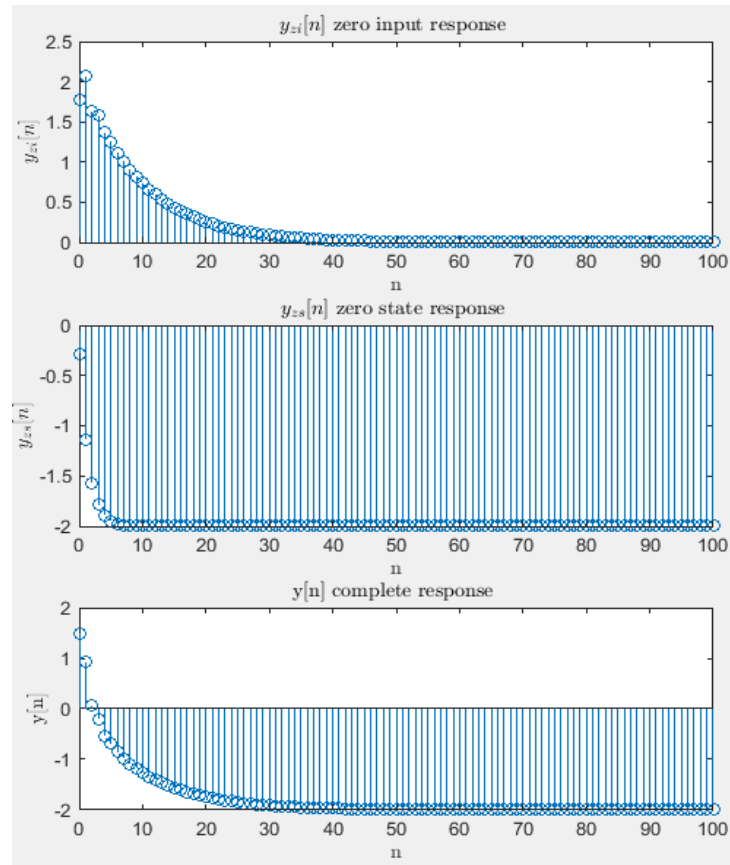
تصویر ۴-۶: پاسخ ماندگار و گذرا

\*\*\*پاسخ حالت صفر و ورودی صفر:

$$y_{zi}[n] = 2.116(0.9)^n u[n] - 0.3304(-0.5)^n u[n]$$

$$y_{zc}[n] = -2u[n] + 1.7188(0.5)^n u[n]$$

تصویر ۵-۶ نمودار پاسخ گذرا و ماندگار را نشان میدهد:



تصویر ۵-۶: پاسخ حالت صفر و ورودی صفر